

Research Paper

Study of Interaction of Pyrrole 2-carboxylic Acid Molecule with Pristine and Palladium Functionalized Boron Nitride Nano Cage: Based on the Quantum Approach¹

Mahdi Rezaei-Sameti^{*2}, Fatemeh Zamanian³

Received:2018.10.13

Accepted: 2020.01.25

Abstract

The aim of this project is to investigate the effects of 2-Pyrrole carboxylic acid molecule adsorption on the surface of pristine and Pd functionalized boron nitride nanocage ($B_{12}N_{12}$). All selected structures are optimized within the framework of DFT using B3LYP/Lanl2DZ. From optimized structures, the geometrical parameters (bond length, bond angle), HOMO and LUMO orbitals, infrared spectrum (IR), chemical shielding isotropic parameters (CSI), natural bonding orbital (NBO), quantum parameters, atom in molecule parameters (AIM) and molecular electrostatic potential (MEP) maps are calculated. The results indicate that in the functionalized $B_{12}N_{12}$ nanocage, the gap energy and global hardness of system decrease significantly from original state and so the conductivity and reactivity of BN nanocage increase. The adsorption energy and enthalpy values of all adsorption models are negative and are exothermic and favorable in thermodynamic approach. The NBO, MEP and CSI parameters reveal that the electron charge transfer occurs from adsorbent toward nanocage, and this property is notable for electrophilic and nucleophilic attack in biological systems. The computational results demonstrate that the pristine and Pd functionalized BN nanocage can be used as a suitable candidate for fabricating detector and absorber for 2-Pyrrole carboxylic acid.

Keywords: *Boron Nitride Nano Cage, 2-Pyrrole Carboxylic Acid, Pd Functionalized, Thermodynamic, Quantum.*

¹ DOI: 10.22051/jap.2020.22529.1105

² Associate Professor, Department of Applied Chemistry, Faculty of Science, Malayer University, Malayer, Iran. (Corresponding Author). Email: mrsameti@malayeru.ac.ir

³ MSc, Department of Applied Chemistry, Faculty of Science, Malayer University, Malayer, Iran. (Corresponding Author). Email: fatemeh.zamanian67@yahoo.com

مقاله پژوهشی

مطالعه برهم‌کنش ملکول پیرول-۲-کربوکسیلیک اسید با نانوخوشه خالص بور نیترید و نشاندارشده با اتم پالادیم: بر اساس دیدگاه کوانتمی^۱

مهدى رضایی صامتی^{۲*}، فاطمه زمانیان^۳

تاریخ دریافت: ۱۳۹۷/۰۷/۲۱

تاریخ پذیرش: ۱۳۹۸/۱۱/۰۵

چکیده

هدف این تحقیق بررسی اثر جذب ملکول پیرول-۲-کربوکسیلیک اسید (PCA) بر سطح نانوخوشه بور نیترید ($B_{12}N_{12}$) خالص و نشاندارشده با اتم پالادیم است. همه ساختارهای منتخب با استفاده از نظریه تابعی چگالی در سطح B3LYP/Lanl2DZ با استفاده از نرم‌افزار گوین (۰.۹) بهینه شدند. با استفاده از ساختارهای بهینه پارامترهای فضایی (طول پیوند و زاویه پیوند)، اریتال‌های هومو و لومو، طیف فروسرخ (IR)، پارامتر پوششی متقارن (CSI)، اریتال‌های پیوندی طبیعی (NBO)، پارامترهای کوانتمی، پارامترهای نظریه اتم در ملکول (AIM) و نمودارهای پتانسیل الکترواستاتیک ملکولی (MEP) محاسبه شده و درباره نتایج حاصل بحث شد است. نتایج محاسبات نشان داد که در نانوخوشه $B_{12}N_{12}$ حاصل بحث شد است.

¹ DOI: 10.22051/jap.2020.22529.1105

² دانشیار، گروه شیمی فیزیک، دانشکده علوم پایه، دانشگاه ملایر، ملایر، ایران. (نویسنده مسئول).

mrsameti@malayeru.ac.ir

³ دانش آموخته کارشناسی ارشد، گروه شیمی فیزیک، دانشکده علوم پایه، دانشگاه ملایر، ملایر، ایران.

fatemeh.zamanian67@yahoo.com

نشاندارشده با اتم پالادیم، شکاف انرژی و پارامتر سختی نانوخوشه کاهش محسوسی یافته و رسانایی و فعالیت شیمیایی افزایش می‌یابد. مقدار انرژی جذب و آنتالپی محاسبه شده برای تمام مدل‌ها منفی بوده و فرآیندهای جذب^۱ گرماده هستند و از نظر ترمودینامیکی مساعد است. نتایج MEP و NBO و CSI نشان داد که انتقال بار از سمت جذب شونده به سمت نانوخوشه صورت گرفته که این موضوع از نظر حمله گونه‌های هسته‌دوست و الکترون‌دوست در فرآیندهای زیستی مهم است. نتایج نشان داد که نانوخوشه $B_{12}N_{12}$ خالص و نشاندارشده با اتم پالادیم می‌تواند به عنوان گرینه مناسی برای ساخت جاذب و شناساگر PCA استفاده شود.

وازگان کلیدی: نانوخوشه بوریتریا، پیروول ۲-کربوکسیلیک اسید،

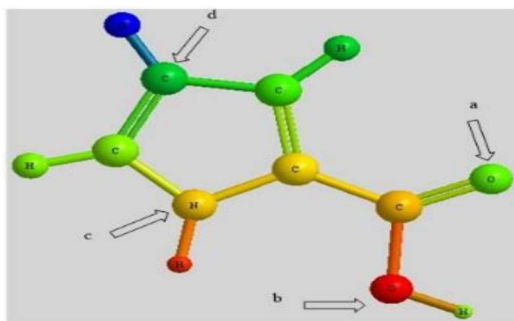
نشاندارشده با پالادیم، ترمودینامیک، پارامترهای کوانتمی.

۱. مقدمه

نیتریدهای گروه سوم جدول تناوبی نظیر بور نیترید (BN) و آلمینیوم نیترید (AlN) و گالیم نیترید (GaN) از ترکیباتی هستند که هم در حالت سه‌بعدی و هم در ابعاد کمتر ویژگی‌های متنوع الکترونی و مغناطیسی و اپتیکی از خود نشان می‌دهند. این ترکیبات به دلیل شکاف انرژی کوچک و رسانایی گرمایی خوب و نسبت سطح به حجم عالی خود در گسترش صنایع و ابزارهای ارتباطی و تصویری نقش بسزایی دارند [۱-۵]. نانوخوشه‌های بور نیترید از خانواده فولرین‌ها هستند و انواع مختلفی داند که کوچک‌ترین آن‌ها $B_{12}N_{12}$ و بزرگ‌ترین آن‌ها $B_{60}N_{60}$ است [۶]. نانوخوشه $B_{12}N_{12}$ شش حلقه چهارضلعی و هشت حلقه شش‌ضلعی دارد، که باعث پایداری ساختاری آن شده است. این نانوخوشه‌ها به علت دارا بودن خواص فیزیکی و شیمیایی و الکتریکی منحصر به فرد در بسیاری از تحقیقات گسترش نظری و تجربی مورد توجه قرار گرفته‌اند [۷-۱۲]. در سال‌های اخیر، به منظور افزایش کارایی و خواص الکترونی این ترکیبات در صنایع مختلف، آن‌ها را با اتم‌های فلزی و نافلزی متنوعی نشاندار کرده‌اند، که معروف‌ترین آن‌ها فلزات واسطه دوره تناوب چهارم جدول‌لند، که خواص کاتالیزوری و اپتیکی دارند و به عنوان نیمه‌رسانا در ساخت دستگاه‌های اسپیترونیک استفاده می‌شوند [۱۳-۱۴]. از طرف دیگر، بررسی‌های اخیر نشان داده است که جایگزین کردن اتم‌های فلزی در نانوخوشه بور نیترید باعث تغییر قطبش اسپین و خواص الکترونیکی و مغناطیسی آن‌ها می‌شود و از این ترکیبات می‌توان به عنوان تقویت‌کننده‌های مکانیکی در نانوکامپوزیت‌ها، روان‌کننده‌ها در مقیاس نانومتری، تولید شناساگرهای نوری، کاربردهای فوتونیک، صنایع خودروسازی، سلول‌های پلیمری خورشیدی استفاده کرد [۱۵-۱۶].

یکی دیگر از کاربردهای مهم نانوخوشهای بور نیترید استفاده از این ترکیبات به عنوان جاذب یا حسگر ترکیبات و گازهای آلاینده محیط زیست از جمله SO_2 , CN , CH_3 , CO_2 , CO , NH_2 , NO_2 , NO_2 , H_2 , CH_4 و فنول، فرمالدھید است. بررسی نتایج تحقیقات اخیر نشان داد که نانوخوشهای خالص و جایگزین شده جاذب و حسگر مناسبی برای گازهای آلاینده محیط زیست هستند. نکته جالب توجه آن است که در تمام فرایندهای جذبی هم رسانایی نانو تغییر می‌کند، که این ویژگی در تهیه حسگرهای شیمیایی اهمیت دارد و هم جذب این ترکیبات در بیشتر موارد از نظر ترمودینامیکی مطلوب بوده و می‌توان از این مواد به عنوان فیلتر جاذب گازهای آلاینده محیط زیست استفاده کرد [۲۴-۲۷].

با این هدف در تحقیق حاضر بر آن شدیم که نانوخوše بور نیترید خالص و نشاندارشده با اتم پالادیم را برای جذب یا پوشش دادن ملکول پیروول-۲-کربوکسیلیک اسید مطالعه کرده و کارایی آن را بررسی کنیم. تاکنون هیچ گزارش علمی در این زمینه ارائه نشده است. در اینجا برای سادگی کار ساختار نانوخوše بور نیترید خالص و نشاندارشده با اتم پالادیم را در حضور جذب‌شونده پیروول-۲-کربوکسیلیک اسید، با نمادهای A و C معرفی کرده و برای مشخص کردن موقعیت جذب پیروول-۲-کربوکسیلیک اسید بر روی نانوخوše از زیروندهای a, b, c, d استفاده کرده‌ایم (شکل ۱). از روی ساختارهای بهینه‌شده، پارامترهای^۱ NBO، هومولومو (HOMO-LUMO) انرژی جذب، پارامترهای نظریه اتم در ملکول و پارامترهای ترمودینامیکی با استفاده از روش Lanl2DZ بر پایه نظریه تابعی چگالی محاسبه شده و نتایج حاصل تجزیه و تحلیل شده است، تا کارآیی نانوخوše خالص و نشاندارشده با پالادیم برای جذب یا مشخص کردن پیروول-۲-کربوکسیلیک اسید بررسی شود.



شکل ۱ جایگاه‌های جذبی پیروول-۲-کربوکسیلیک اسید بر سطح نانوخوše.

^۱ NBO: Natural bond orbital

۲. روش محاسباتی

نانوخوشه بور نیترید (BN₁₂) شامل ۱۲ اتم نیتروژن و ۱۲ اتم بور است. تمام محاسبات ساختاری و کوانتمی نانوخوشه بور نیترید در حضور پیروول-۲-کربوکسیلیک اسید با استفاده از نظریه تابع چگالی (DFT) و با استفاده از روش Lanl2DZ و با به کارگیری نرم افزار گوسین (Gaussian 09) انجام شده است [۲۵]. برای این منظور، ابتدا پیکربندی های متفاوتی را برای جذب PCA بر سطح نانوخوشه در نظر گرفته و پس از بهینه سازی ساختارهای اولیه، هشت مدل با ساختار پایدار فضایی انتخاب کردیم. در محاسبات، میزان همگرایی در نیرو و فاصله ذرات بدین صورت است: Max. Force: 0.00044; RMS force: 0.0003; Max. Dis: 0.0018; RMS Dis: 0.0012 محاسبات کوانتمی و ترمودینامیکی با استفاده از ساختارهای بهینه شده انجام شد. در اینجا، با استفاده از نظریه کوهن پارامترهای کوانتمی: I (انرژی یونش)، A (انرژی الکترون خواهی)، η (سختی کروی)، E_{gap} (شکاف انرژی) و ΔN بیشینه عدد انتقال بار الکترون، محاسبه شده اند. انرژی بالاترین اریتال ملکولی اشغال شده و E_{LUMO} انرژی پایین ترین اریتال ملکولی خالی است [۳۳-۲۶]،

$$I = -E_{HOMO}, \quad A = -E_{LUMO} \quad (1)$$

$$E_{gap} = E_{LUMO} - E_{HOMO} \quad (2)$$

$$m = -(I + A) / 2 \quad (3)$$

$$h = (I - A) / 2 \quad (4)$$

$$\Delta N = -m / h \quad (5)$$

انرژی جذب (E_{ads}) با استفاده از معادله (۶) محاسبه شده است،

$$E_{ads} = E_{BN+PCA} - E_{BN} - E_{PCA} \quad (6)$$

در اینجا، E_{BN+PCA} ، انرژی کل برهمکنش بین نانوخوشه بور نیترید و ملکول پیروول-۲-کربوکسیلیک اسید است. E_{BN} و E_{PCA} به ترتیب، انرژی کل نانوخوشه بور نیترید خالص و ملکول پیروول-۲-کربوکسیلیک اسید است. مقادیر انرژی تغییر شکل ساختاری (E_{def}) را با استفاده از معادله های (۷) و (۸) محاسبه کرده ایم،

$$E_{def-PCA} = E_1 - E_2 \quad (7)$$

$$E_{def-BN} = E_3 - E_4 \quad (8)$$

در معادله (۷)، E_1 انرژی جذب شونده (ملکول پیروول-۲-کربوکسیلیک اسید) به صورت آزاد و E_2 انرژی جذب شونده در برهمکنش با نانوخوشه است. در معادله (۸)، E_3 انرژی نانوخوشه خالص و E_4 انرژی نانوخوشه در زمانی است که با جذب شونده برهمکنش دارد. برای بررسی انجام پذیر

بودن یا نبودن فرآیند جذب، پارامترهای ترمودینامیکی از جمله تغییرات انرژی درونی، آنتالپی، انرژی آزاد گیبس و آنتروپی را با استفاده از معادله (۹) محاسبه کرده‌ایم،

$$DM = M_{(BN/PCA)} - (M_{BN} + M_{PCA}) \quad M : E, H, G \quad (9)$$

در اینجا، ΔM تغییر پارامتر ترمودینامیکی (ΔG , ΔH , ΔE)، M_{BN} و M_{PCA} به ترتیب پارامترهای ترمودینامیکی پیروول ۲-کربوکسیلیک اسید، نانوخوشه بور نیترید، کمپلکس نانوخوشه بور نیترید با پیروول ۲-کربوکسیلیک اسید می‌باشند.

تغییرات انرژی آزاد گیبس (DDG_{SOI}) در حالت حلal پوشی بر اساس معادله (۱۰) محاسبه شده است،

$$DDG_{SOI} = D G_{Sol_{complex}} - D G_{Sol_{B12N12}} - D G_{sol_{PCA}} \quad (10)$$

که در آن، $D G_{SOI_{adsorption}}$ و $D G_{SOI_{B12N12}}$ و $D G_{SOI_{complex}}$ به ترتیب عبارتند از: تغییرات انرژی آزاد گیبس حلal پوشی بر همکنش نانوخوشه با پیروول ۲-کربوکسیلیک اسید، نانوخوشه پیروول ۲-کربوکسیلیک اسید.

۳. نتایج و بحث

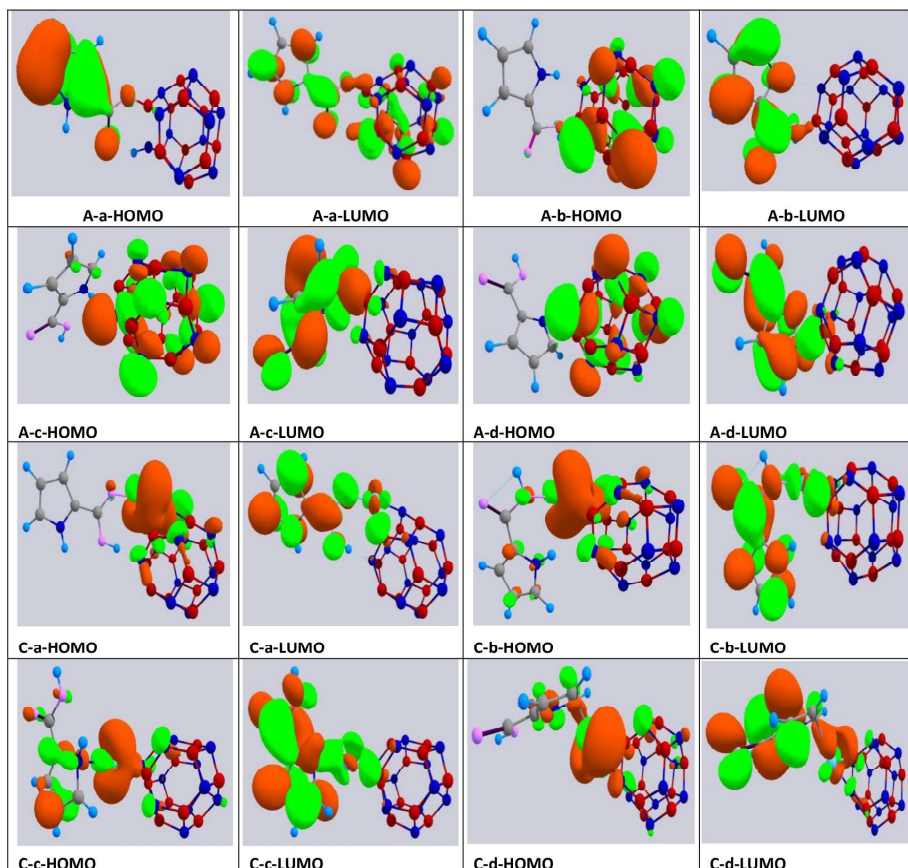
الف. هومو و لومو

نتایج مربوط به ساختارهای الکترونی اریتال‌های هومو و لومو در شکل ۲ ارائه شده‌اند. بررسی ساختارهای اریتال‌های هومو و لومو نشان می‌دهد که در تمام مدل‌های جذبی به جز مدل A-a بیشترین چگالی ابر الکترونی لومو بر ملکول PCA متوجه شده است.

تمرکز چگالی اریتال‌های لومو در این ملکول بیانگر آن است که این نقاط برای حمله هسته‌دوستی مناسب‌ترند، در حالی که چگالی ابر الکترونی اریتال هومو بر روی نانوخوشه بور نیترید بیشترین تمرکز را دارد که این مکان محل مناسی برای حمله گونه الکترون دوست است. اما در مدل A-a چگالی اریتال‌های هومو بیشتر بر ملکول PCA و چگالی اریتال‌های لومو بر محل تماس نانوخوشه و ملکول PCA متوجه شده است. در مدل A-a سطح ملکول PCA و محل اتصال آن با نانوخوشه مکان مناسی برای حمله گونه‌های هسته‌دوست و الکترون‌دوست است، که این رفتار از نظر فرایندهای زیستی مهم است.

بررسی نتایج جدول ۱ نشان می‌دهد که در نانوخوشه بور نیترید نشاندارشده با اتم پالادیم نسبت به حالت خالص، مقدار سطح انرژی هومو و لومو تغییر چشمگیری کرده و این عامل باعث کاهش بسیار انرژی شکاف و انرژی یونش و سختی کروی ملکول می‌شود و در نتیجه، فعالیت‌های شیمیایی و رسانایی و قطبیش پذیری نانوخوشه افزایش می‌یابد. پارامتر انتقال بار ΔN در تمام

مدل‌های جذبی مثبت است، که نشان می‌دهد ملکول PCA دهنده الکترون و نانوخوشه بور نیترید گیرنده الکترون است. از طرف دیگر، مقدار درصد تغییر انرژی شکاف ($\% \Delta E_{\text{gap}}$) برای تمام مدل‌های جذبی منفی است که نشان‌دهنده کاهش انرژی شکاف فرایندهاست. میزان کاهش انرژی شکاف در مدل A-d برابر $44/10\%$ است، که از سایر مدل‌های مورد مطالعه بیشتر بوده و در نتیجه، رسانایی نانوخوشه در این حالت از سایر مدل‌های جذبی بیشتر است و این ویژگی در ساخت حسگر PCA بسیار جالب توجه است. مقدار پتانسیل شیمیایی محاسبه شده برای تمام مدل‌های جذبی در محدوده $-4/31$ تا $-5/38$ الکترون ولت می‌باشد. مقایسه نتایج نشان می‌دهد که مقدار پتانسیل شیمیایی مدل A-d منفی‌تر از سایر مدل‌ها بوده و نشان‌دهنده آن است که این مدل از دیگر مدل‌های جذبی، هم رساناتر و هم از نظر ترمودینامیکی پایدارتر است.



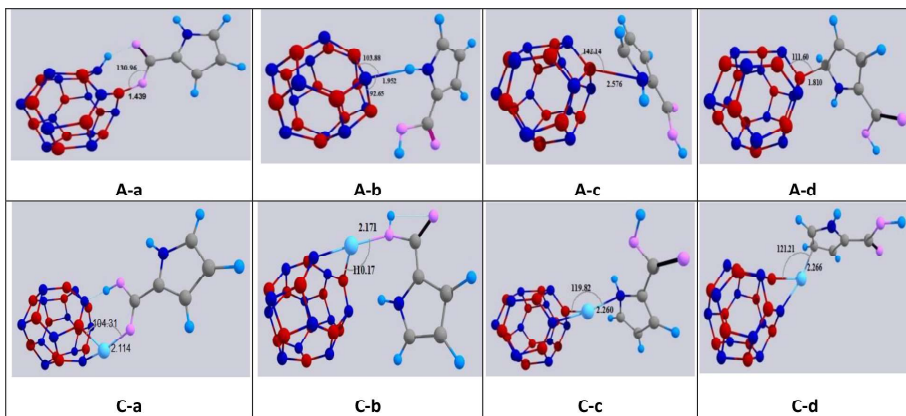
شکل ۲ ساختار اریتال‌های هومو و لومو برای مدل‌های جذبی PCA بر روی نانوخوشه B12N12 خالص و نشاندارشده با بالادنیوم مدل‌های A, C, A-C.

جدول ۱. نتایج اریتال‌های هو و لومو و پارامترهای کوانتمی مدل‌های A, C

Model	A-a	A-b	A-c	A-d	C-a	C-b	C-c	C-d
$E_{(HOMO)}/eV$	-۶/۸۱	-۷/۲۸	-۷/۰۶	-۷/۰۴	-۶/۴۳	-۶/۶۵	-۶/۳۳	-۶/۴۳
$E_{(LUMO)}/eV$	-۱/۹۳	-۲/۷۰	-۳/۶۳	-۳/۷۲	-۲/۱۹	-۲/۲۷	-۲/۳۷	-۲/۴۰
A/eV	۱/۹۳	۲/۷۰	۳/۶۳	۳/۷۲	۲/۱۹	۲/۲۷	۲/۳۷	۲/۴۰
I/eV	۶/۸۳	۷/۲۸	۷/۰۶	۷/۰۴	۶/۴۳	۶/۶۵	۶/۳۳	۶/۴۳
$E_{(gap)}$	۴/۸۸	۴/۵۸	۳/۴۳	۳/۳۲	۴/۲۴	۴/۳۸	۳/۹۶	۴/۰۳
μeV	-۴/۳۸	-۴/۹۹	-۴/۳۴	-۵/۳۸	-۴/۳۱	-۴/۴۶	-۴/۳۵	-۴/۴۱
$\eta/(eV)^{-1}$	۲/۴۵	۲/۲۹	۱/۷۱	۱/۶۶	۲/۱۲	۲/۱۹	۱/۹۸	۲/۰۱
$\Delta N/eV$	۱/۷۸	۲/۱۷	۳/۱۲	۳/۲۴	۲/۰۳	۲/۰۳	۲/۱۹	۲/۱۹
%E _(gap)	-۱۷/۸۴	-۲۲/۸۹	-۴۲/۲۵	-۴۴/۱۰	-۱۹/۷۷	-۲۳/۷۲	-۱۱/۸۶	-۱۳/۸۴

ب. بررسی ساختاری و انرژی جذب

بررسی ساختارهای بهینه‌شده بور نیترید نشان می‌دهد که طول پیوند N-B در حلقه چهارضلعی و شش‌ضلعی نانوخوش به ترتیب ۱/۵۰۹ و ۱/۴۳۸ آنگستروم است، که با نتایج حاصل از کار سایر محققان تطابق خوبی دارد [۲۹، ۳۰]. با جایگزین کردن پالادنیوم، طول این پیوندها به ۱/۶۷۰ و ۲/۱۰۱ آنگستروم افزایش یافته است، که ناشی از اثرات فضایی فلز نشاندارشده در شبکه نانوخوش است. بررسی ساختارهای بهینه (شکل ۳) در مدل‌های جذبی A-a تا C-d نشان می‌دهد که مقادیر متوسط طول پیوند در مدل جذبی A-a برابر با ۱/۴۳۹ آنگستروم است، که با نشاندار کردن پالادنیوم در مدل جذبی C-a به ۲/۱۱۴ آنگستروم افزایش یافته است، که افزایش طول پیوند در هر موقعیت نشان‌دهنده تضعیف پیوند در آن موقعیت است. زاویه پیوند در مدل جذبی A-a برابر ۱۳۰ درجه بود و در حالت جذبی C-a به ۱۰۴ درجه کاهش یافته است، که این عامل نیز شاید به اثرات فضایی ملکول جذب‌شونده و پالادنیم مربوط باشد. انرژی جذب (E_{ads}) و انرژی تغییر شکل تمامی ساختارها با استفاده از روابط (۸) محاسبه شده و نتایج حاصل در جدول ۲ گردآوری شده است. در تمام مدل‌های مدل نظر مقدار انرژی جذب در محدوده ۴/۷۵-۴/۷۸-۴/۲۸-۴/۷۱ کیلوکالری در مول بوده که حاکی از گرماده بودن و ماهیت فیزیکی فرآیند جذب ملکول پیروول-۲-کربوکسیلیک اسید بر سطح نانوخوش بور نیترید است. مدل جذبی A-a با انرژی جذب ۴/۷۲-۴/۷۱ کیلوکالری در مول از نظر ترمودینامیکی از سایر مدل‌ها مطلوب‌تر است، که بیانگر برهمکنش قوی بین اتم اکسیژن جذب‌شونده با اتم بور نانوخوش است.



شکل ۳ ساختارهای فضایی جذب PCA بر سطح حالت خالص و نشاندارشده بور نیترید در مدل‌های A-a تا C-d.

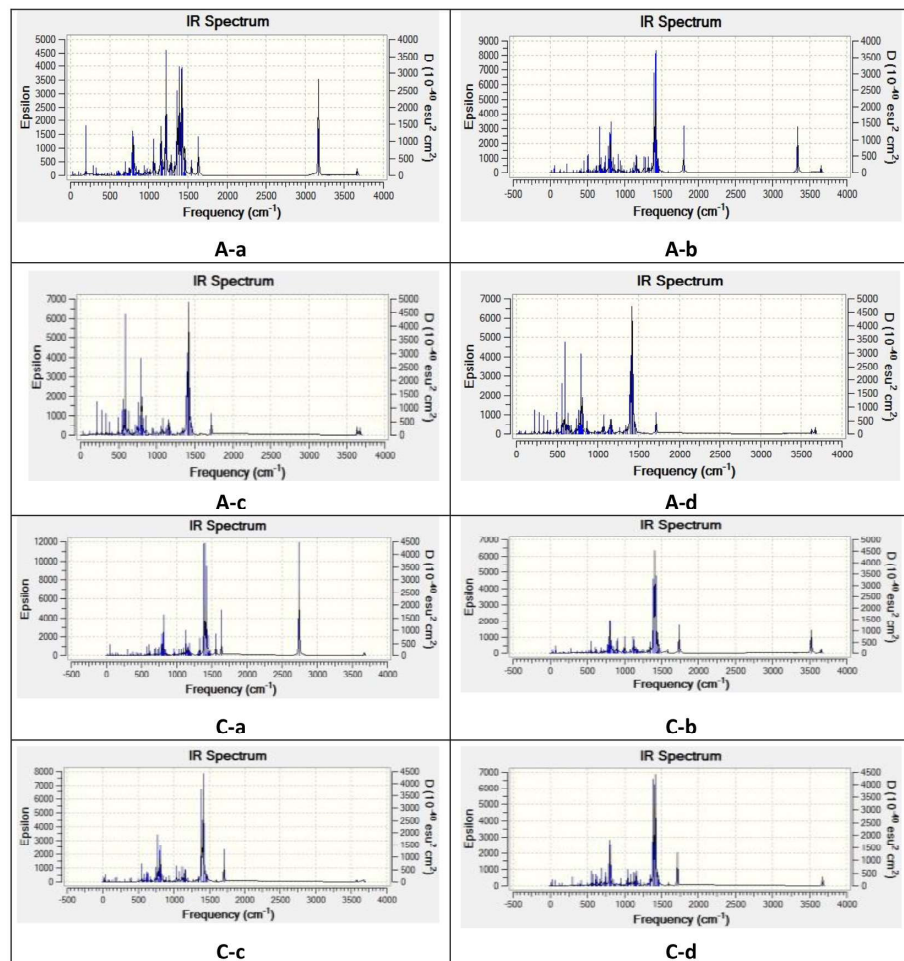
از طرف دیگر، مدل‌های A-d و A-c با کمترین مقدار انرژی جذب (۴/۷۵ و ۵/۲۰ کیلوکالری برمول) ضعیف‌ترین برهمکنش بین نانوخوشه و جذب شونده را داشته که از نظر ترمودینامیکی جذب ملکول PCA در این مدل‌ها نامطلوب‌تر است. مقادیر انرژی تغییر شکل نانوخوشه (E_{def}) در تمام مدل‌های جذبی منفی است، لذا فرآیندهای مدنظر گرماده و خودبه خودی هستند. انرژی تغییر شکل کل برای تمام مدل‌ها به جز حالت جذبی C-c مثبت است، که نشان‌دهنده غیر خود به خودی بودن و گرمگیر بودن فرآیند تغییر شکلی کل ملکول است. بررسی نتایج جدول ۲ نشان می‌دهد که گشتاور دوقطبی مدل‌های جذبی در محدوده ۲/۹۱ تا ۷/۶۴ دبای است و به نحوه جذب گونه جذب شونده بر سطح نانوخوشه و عامل نشاندار مربوط است. نکته جالب توجه آن است که گشتاور دوقطبی مدل‌های A-d و A-c از سایر مدل‌ها بیشتر است و از نظر اپتیکی این مدل‌ها مناسب‌تر و فعال‌ترند.

جدول ۲ پارامترهای انرژی جذب، انرژی تغییر شکل، گشتاور دوقطبی مدل‌های جذبی A, C

property	A-a	A-b	A-c	A-d	C-a	C-b	C-c	C-d
E_{ads} (kcal/mol)	-۴۷/۲۸	-۲۰/۶۰	-۵/۲۰	-۴/۷۵	-۳۲/۵۶	-۱۹/۹۴	-۱۳/۸۷	-۲۲/۹۹
$E_{def(nano)}$ (kcal/mol)	-۴۱/۸۳	-۵/۷۱	-۱۳/۳۸	-۱۳/۸۶	-۵/۰۱	-۳/۲۰	-۱۹/۸۸	-۱۶/۸۲
$E_{def(ads)}$ (kcal/mol)	-۹۷/۵۰	-۶/۶۷	-۱۰/۷۲	-۱۲/۲۷	-۴/۵۷	-۳/۴۷	-۳/۷۶	-۲/۹۳
μ Debye	۴/۵۴	۵/۴۰	۷/۴۴	۷/۶۴	۶/۸۶	۲/۹۱	۳/۷۲	۴/۹۶

ج. بررسی طیف فروسرخ^۱ IR

از مقایسه طیف‌های IR حالت خالص و نشاندارشده بور نیترید ملاحظه می‌شود که بر اثر وارد شدن اتم پالادیم و ورود اربیتال‌های d در این فرایند، قله طیف‌های IR تفکیک شده است. به طوری که، در ناحیه ۵۰۰ تا ۱۵۰۰ cm^{-1} تعداد قله‌ها افزایش یافته که نشان دهنده الکترون دهنگی گونه نشاندارشده است.



شکل ۴ طیف‌های IR برای مدل جذبی PCA بر سطح نانوحوش خالص $\text{B}_{12}\text{N}_{12}$ و نشاندارشده مدل‌های A, C

^۱ Infra red: IR

از بررسی طیف‌های IR مدل جذبی A، در شکل (۴) مشاهده می‌شود، که در مدل جذبی A-a در ناحیه ۵۰۰ تا 1500 cm^{-1} تعداد قله و ارتفاع آن‌ها افزایش شدیدی یافته است. در ناحیه فرکانس‌های 3000 cm^{-1} تا 3500 cm^{-1} نیز یک قله با ارتفاع بلند مشاهده می‌شود. در حالی که، در ناحیه ۳۰۰۰ تا 3500 cm^{-1} برای مدل جذبی A-d هیچ قله‌ای مشاهده نمی‌شود. قله‌های مشهود نشان‌دهنده حضور گروه‌های عاملی کربونیل و هیدروکسیل در فرایند می‌باشند. از مقایسه طیف‌های IR مدل C، مشاهده می‌کنیم که در مدل‌های جذبی A-a و C-c و C-b در فرکانس ۵۰۰ تا 1500 cm^{-1} تراکم قله‌ها بیش از حالت‌های دیگر است.

د. پارامتر پوششی متقارن^۱ (CSI)

پارامتر پوششی متقارن (CSI) با استفاده از تانسورهای پوشش شیمیایی^۲ اتم بور و نیتروژن در راستای محورهای مختصات محاسبه شده و به کمیت اندازه گیری پذیر NMR یعنی پارامتر CSI تبدیل شده است [۲۶، ۲۷].

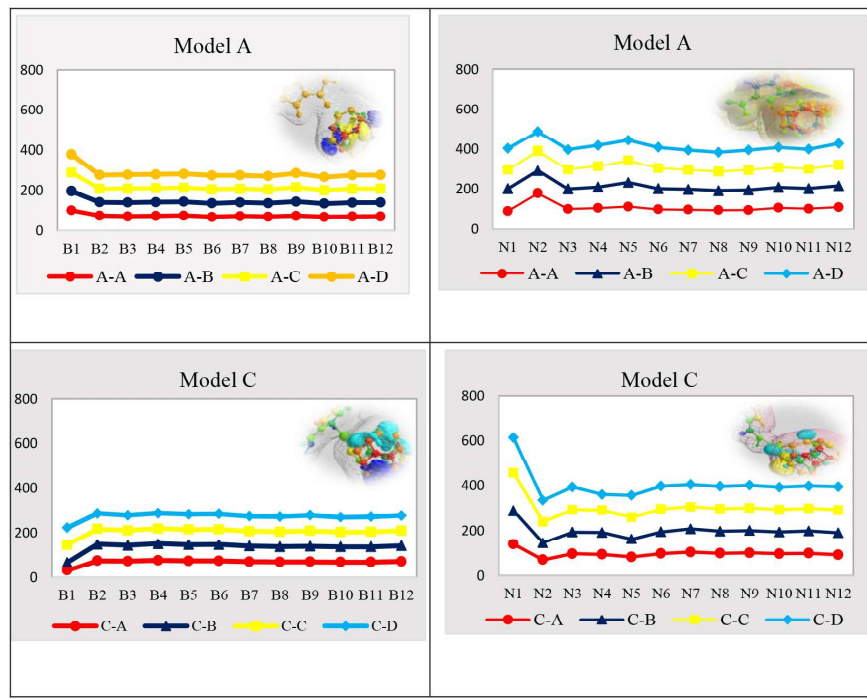
$$CSI_{(ppm)} = \frac{1}{3}(s_{11} + s_{22} + s_{33}) \quad (11)$$

نمودارهای CSI مدل‌های A و C در شکل (۵) نشان داده شده است. در حالت خالص مدل A، در اتم B1 کاهش محسوسی در پارامتر پوششی متقارن اتم‌های بور مشاهده می‌کنیم، در حالی که در اتم‌های B2 تا B12 در تمام مدل‌های A مقدار پارامتر پوششی متقارن یکسان است.

مقدار CSI اتم‌های نیتروژن برای اتم N2 افزایش شدیدی را نشان می‌دهد و در سایر نقاط ثابت است. زمانی که نانوخوشه بور نیترید با پالادیم نشاندار شود میزان CSI افزایش می‌یابد. نکته جالب توجه آن است که افزایش مقدار CSI در موقعیت N1 از سایر نقاط بزرگ‌تر است که حاکی از اثر القایی مثبت پالادیم و افزایش چگالی ابر الکترونی بر نانوخوشه است. هر نقطه که مقدار پارامتر پوششی در آن بزرگ باشد، میزان تراکم ابر الکترونی در آن نقطه بیشتر بوده و برای حمله گونه هسته‌دوست و انجام واکنش‌های شیمیایی مناسب‌تر است.

¹ CSI: Chemical shielding isotropic

² Chemical shielding tensors



شکل ۵ نمودار پارامتر محاسبه شده CSI برای اتم های بور و فسفر مدل های جذبی A, C

ه اربیتال های پیوندی طبیعی (NBO)

به منظور بررسی اثر الکترون دهنده‌گی و الکترون گیرنده‌گی پیروول ۲-کربوکسیلیک اسید در پیوندهای نانو خوش بور نیترید، اربیتال‌های پیوندی طبیعی برای تمام مدل‌های جذبی محاسبه شده و نتایج حاصل در (جدول ۱ پیوست) ارائه شده است. تجزیه و تحلیل نتایج نشان می‌دهد با جذب پیروول ۲-کربوکسیلیک اسید بر روی نانو خوش، در مدل جذبی A-a، انرژی پایدارسازی پیوند برای الکترون دهنده‌گی اربیتال پیوندی N2-B1 به الکترون گیرنده‌گی اربیتال ضد پیوندی N7-B6 برابر ۰.۱۶ کیلو کالری بر مول است. در حالی که در مدل C-a این انرژی به ۰.۵۸ کیلو کالری بر مول کاهش می‌یابد و همچنین انرژی پایدارسازی الکترون دهنده‌گی اربیتال پیوندی N2-B1 به الکترون گیرنده‌گی اربیتال پاد پیوندی N5-B4 در A-a و C-a به ترتیب برابر ۰.۷۶ و ۰.۸۲ کیلو کالری در مول است. نتایج حاصل حاکی از آن است که با نشان دار کردن نانو خوش میزان انرژی پایدارسازی پیوندها کاهش یافته است، در حالی که با جذب ملکول PCA اثر محسوسی مشاهده نمی‌شود. هر قدر انرژی پایدارسازی کوچک‌تر شود به همان اندازه اثر الکترون دهنده‌گی ضعیف‌تر شده و استحکام پیوندهای مجاور کمتر می‌شود. مقایسه نتایج نشان می‌دهد با جایگزین

کردن پالادیم مقادیر انرژی پایدار کمتر شده و در نتیجه اثر الکترون‌دهندگی و استحکام پیوند اتم‌های مجاور ناحیه نشاندارشده کمتر می‌شود.

و. پارامترهای ترمودینامیکی

در این قسمت به منظور بررسی ترمودینامیکی فرآیند جذب، پارامترهای ترمودینامیکی از جمله تغییر انرژی درونی، تغییر آنتالپی، تغییر آنتروبی و تغییر انرژی آزاد گیبس برای تمام مدل‌های جذبی مورد مطالعه در دمای ۲۹۸/۱۵ کلوین با استفاده از رابطه (۱۰) محاسبه شده و نتایج حاصل در جدول (۳) گردآوری شده است. تغییر انرژی آزاد گیبس ΔG در تمام حالت‌های جذبی به جز A-d و A-c منفی است، که نشان‌دهنده آن است که فرآیند جذب مساعد و خودبه‌خودی است. مقایسه مقادیر تغییر آنتالپی (ΔH) نشان می‌دهد مدل-a با تغییر آنتالپی ۴۵/۹۸ - کیلوکالری در مول بیشترین انرژی را آزاد کرده و مدل-d ۳/۸۱ - کیلوکالری در مول کمترین انرژی آزاد کرده است. بیشترین انرژی درونی ΔE مربوط به حالت جذبی a، ۴۵/۳۸ - کیلوکالری در مول است و کمترین انرژی درونی مربوط به حالت جذبی d، ۳/۲۱ - کیلوکالری در مول است. در تمام مدل‌های جذبی مقدار ΔS منفی است و از نظر ترمودینامیکی نامساعد است که علت منفی بودن آنتروبی آن است که در اینجا ملکول‌های کوچک به هم متصل شده یک ملکول بزرگ‌تر را با آنتروبی کمتر ایجاد کرده‌اند، که حاکی از تشکیل پیوند مستحکم بین نانو و جذب‌شونده می‌باشد. منفی بودن تغییر انرژی آزاد گیبس در اکثر حالت‌ها نشان می‌دهد فرایند جذب خودبه‌خودی است.

جدول ۳ پارامترهای ترمودینامیکی در فاز گازی و آب برای مدل‌های جذبی A-C

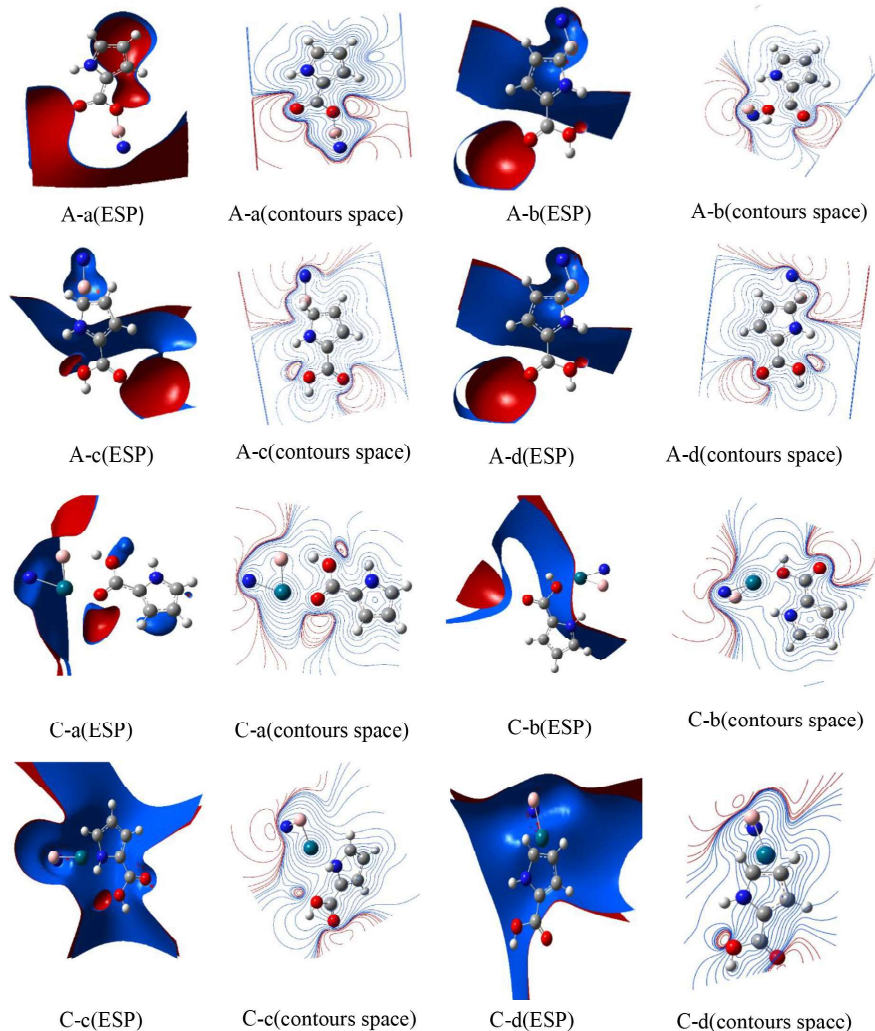
	ΔE (Kcal/mol)	ΔH (Kcal/mol)	ΔG (Kcal/mol)	ΔS (Cal/mol-K)	$\Delta \Delta G_{(SOL)}$ (Kcal/mol)
A-a	-۴۵/۳۸	-۴۵/۹۸	-۳۳/۷۵	-۴۰/۹۹	۲/۳۷
A-b	-۱۸/۸۹	-۱۹/۴۸	-۶/۹۲	-۴۲/۱۵	۰/۷۳
A-c	-۳/۶۴	-۴/۲۴	۷/۸۶	-۴۰/۶۰	-۲/۳۴
A-d	-۳/۲۱	-۳/۸۱	۸/۴۶	-۴۱/۱۷	-۲/۴۲
C-a	-۳۱/۰۸	-۳۱/۶۷	-۱۸/۷۷	-۴۳/۲۷	۹/۰۵
C-b	-۱۸/۳۲	-۱۸/۹۱	-۷/۳۲	-۳۸/۸۸	۷/۱۷
C-c	-۱۲/۳۳	-۱۲/۹۲	-۲/۴۹	-۳۴/۹۹	۷/۴۷
C-d	-۱۲/۴۱	-۲۲/۰۰	-۱۱/۱۸	-۳۶/۲۸	۸/۰۳

نتایج حاصل از محاسبه اثر آب در جذب ملکول PCA بر روی نانوخوشه در جدول ۳ نشان می‌دهد که در مدل A، DG_{sol} در حالت‌های جذبی A-a، A-b مثبت است، فرآیند آپوشی از نظر ترمودینامیکی غیر خودبه‌خودی است. در مدل جذبی A-c و A-d، منفی بودن DG_{sol} نشان دهنده خودبه‌خودی بودن فرآیند آپوشی پوشی از نظر ترمودینامیکی می‌باشد. ولی در مدل‌های C در تمام حالت‌های جذبی DG_{sol} مثبت است که نشان می‌دهد فرآیند آپوشی از نظر ترمودینامیکی غیر خودبه‌خودی است. بنابراین، فقط در دو حالت جذبی A-c و A-d فرآیند آپوشی خودبه‌خودی است. در حالت جذبی A-a DG_{freq} در حالت گازی منفی بوده در حالی که در حضور حلال $DG_{solution}$ مثبت است. این عامل نشان می‌دهد که وارد کردن آب در فرایند باعث غیر خودبه‌خودی و ضعیف‌تر شدن فرآیند جذب می‌شود. علت آن است که ملکول‌های آب بین جذب‌شونده و نانو قرار گرفته و مانع جذب می‌شوند. نکته درخور توجه آن است اگر بخواهیم از این ماده به عنوان جاذب ملکول PCA استفاده کنیم بهتر است فرایند در محیط گازی باشد تا محیط آبی.

۳. پتانسیل الکترواستاتیک ملکولی (MEP)^۱

یکی دیگر از روش‌های بررسی نحوه توزیع ابر الکترونی در اطراف ناحیه جذب و خاصیت الکترون دوستی و هسته‌دوستی ترکیبات روش پتانسیل الکترواستاتیک ملکولی (MEP) است. اهمیت MEP در این است که به طور همزمان اندازه ملکول و شکل و همچنین مناطق پتانسیل الکترواستاتیک مثبت و منفی و خنثی را نشان می‌دهد و از آن در بررسی ساختار ملکولی و ارتباط ویژگی‌های فیزیک‌شیمیایی ترکیبات می‌توان استفاده کرد [۳۱-۳۴]. در شکل (۶) نواحی با رنگ قرمز نشان دهنده تراکم بار منفی بیشتر بوده و نواحی با رنگ آبی نشان دهنده مکان‌های کمبود الکترون است. با بررسی دقیق تمام ساختارهای MEP در شکل (۶) مشاهده می‌شود که بیشترین بار مثبت در اطراف ناحیه جذب‌شونده و بیشترین تراکم بار منفی در اطراف نانوخوشه متتمرکز شده است که بیانگر اثر الکترون دهنده‌گی جذب‌شونده است. نتایج MEP با مقادیر محاسبه شده ΔN و بار NBO (جدول S2) همخوانی خوبی دارند و نشان می‌دهند که در این فرآیند جذب، انتقال الکترون از سمت جذب‌شونده به سمت نانوخوشه صورت گرفته است که این موضوع از نظر حمله گونه‌های هسته‌دوستی و الکترون دوستی در فرآیندهای زیستی و شیمیایی مساعدتر هستند.

¹ MEP: Molecular electrostatic potential



شکل ۶ ساختارهای پتانسیل الکترواستاتیکی برای مدل‌های جذبی A, B و C

ح. پارامترهای نظریه اتم در ملکول^۱ (AIM)

برای بررسی نوع پیوند بین جذب‌شونده و نانوخوشه از نظریه اتم در ملکول بادر^۲ [۳۵، ۳۶] استفاده شده است. با استفاده از این نظریه می‌توان با دقت بالا ماهیت پیوند نانو و PCA در نقطه بحرانی پیوند پیشگویی کرد. در اینجا با استفاده از این نظریه، پارامترهای چگالی کل الکترون، ρ

^۱ AIM: Atom in molecule theory

^۲ Bader theory

پارامتر لاپلاسی $\nabla^2 \rho$ ، انرژی پتانسیل (VBCP)، انرژی جنبشی (GBCP) و انرژی کل الکترونی (HBCP) در نقطه بحرانی پیوند محاسبه شده و نتایج در جدول ۴ گردآوری شده است.

جدول ۴ پارامترهای نظریه اتم در ملکول، شامل چگالی کل الکترون ρ ، پارامتر لاپلاسین $\nabla^2 \rho$ ، انرژی پتانسیل (V_{BCP})، انرژی جنبشی (G_{BCP}) و انرژی کل الکترونی (H_{BCP}) در نقطه بحرانی پیوند.

	ρ	$\nabla^2 \rho$	$G_{(BCP)}$	$H_{(BCP)}$	$-V_{(BCP)}$
A-a	۰/۱۵۳۹	۰/۵۸۲۲	۰/۲۵۸۷	-۰/۱۱۲۹	-۰/۳۷۱۲
A-b	۰/۰۹۴۹	۰/۳۵۴۵	۰/۱۴۰۶	-۰/۰۵۲۰	-۰/۱۹۲۷
A-c	۰/۰۹۲۴	-۰/۰۸۱۲	۰/۰۴۱۱	-۰/۰۶۱۴	-۰/۱۰۲۵
A-d	۰/۰۹۳۵	-۰/۰۷۷۴	۰/۰۴۶۶	-۰/۰۶۶۰	-۰/۱۱۲۶
C-a	۰/۰۵۴۶	۰/۱۱۸۹	۰/۰۳۹۱	-۰/۰۰۹۵	-۰/۰۴۸۶
C-b	۰/۰۶۳۴	۰/۳۶۸۶	۰/۱۰۰۲	-۰/۰۰۸۱	-۰/۱۰۸۳
C-c	۰/۰۶۳۶	۰/۲۳۹۹	۰/۰۷۵۰	-۰/۰۱۵۰	-۰/۰۹۰۱
C-d	۰/۰۹۷۲	۰/۱۷۰۹	۰/۰۵۹۷	-۰/۰۱۷۰	-۰/۰۷۶۸

بر اساس نظریه بادر اگر مقدار $\nabla^2 \rho$ و H_{BCP} در نقطه بحرانی پیوند مثبت باشد، پیوند از نوع الکترواستاتیک و اگر هر دو منفی باشند نشان دهنده پیوند کوالان قوی است. اما اگر $\nabla^2 \rho$ مثبت و H_{BCP} منفی باشد حاکی از پیوند کوالان ضعیف است. بررسی نتایج جدول ۴ نشان می‌دهد که در مدل‌های A-c و A-d مقدار $\nabla^2 \rho$ و H_{BCP} در نقطه بحرانی پیوند منفی است، که بیانگر پیوند الکترواستاتیک قوی بین جذب‌شونده و نانوخوشة است. در حالی که، در سایر مدل‌ها مقدار $\nabla^2 \rho$ و H_{BCP} در نقطه بحرانی پیوند مثبت است که نشان دهنده پیوند کوالان قوی بین جذب‌شونده با نانوخوشه است.

۴. نتیجه‌گیری

در این تحقیق، با استفاده از روش نظریه تابعی چگالی، خواص ساختاری و الکترونی جذب ملکول پیرول-۲-کربوکسیلیک اسید بر سطوح نانوخوشة بور نیترید مطالعه شده است. نتایج حاصل از محاسبات نظریه اتم در ملکول و پارامترهای ترمودینامیکی نشان داد که پیوند بین ملکول پیرول-۲-کربوکسیلیک اسید با نانوخوشه در حالت نشاندارشده با پالادیم از نوع کوالان بوده و فرآیند جذب در بیشتر مدل‌ها خودبه‌خودی است. نکته جالب توجه آن است که نوع جذب در این فرایندها از نوع جذب فیزیکی است. روند انرژی جذب در تمام مدل‌های مورد مطالعه نشان

می‌دهد که مدل‌های A-a و C-a در حالت خالص و نشاندارشده بیشترین مقدار انرژی جذب را دارد، در حالی که مدل‌های d و A-c با کمترین انرژی جذب، نامساعدترین حالت را دارند. ویژگی درخور توجه دیگر آن است که با وارد کردن آب فرآیند جذب نامساعدتر می‌شود، بنابراین اگر بخواهیم از نانوخوشه به عنوان جاذب PCA استفاده کنیم باید نمونه‌ها در فاز گازی استفاده شوند. نتایج حاصل از بررسی ساختارهای هومو و لومو، NBO، MEP و CSI حاکی از آن است که بیشترین بار مثبت و منفی به ترتیب در اطراف جذب‌شونده و نانوخوشه متتمرکز است. در این حالت، گونه‌های هسته‌دوست به جذب‌شونده و گونه‌های الکترون‌دوست به سطح نانوخوشه حمله می‌کنند. مقایسه نتایج پارامترهای کوانتمی نانوخوشه نشاندارشده با اتم پالادیم نسبت به حالت خالص نشان می‌دهد که مقدار انرژی شکاف و انرژی یونش و سختی ملکول کاهش شدیدی پیدا کرده است. بنابراین، رسانایی و فعالیت شیمیایی نانوخوشه در این حالت افزایش چشمگیری خواهد داشت که از این ویژگی در تهیه حسگرها می‌توان استفاده کرد. بررسی نتایج نهایی این تحقیق نشان می‌دهد که نانوخوشه بور نیترید خالص و نشاندارشده با اتم پالادیم گزینه مناسبی برای تهیه حسگر و جاذب ملکول پیروول-۲-کربوکسیلیک اسید است.

منابع

- [1] Makimoto T., Yamauchi Y., and Kumakura K., "High-power characteristics of GaN/InGaN double heterojunction bipolar transistors", *Applied physics letters* **84**, 1964-1968, 2004.
- [2] Schmidt O. G. and Ebrel K., "Thin solid films roll up into nanotubes", *Nature* **410**, 168-175, 2001.
- [3] Chopra N. G., Luyken R. J., Cherrey K., Crespi V. H., Cohen M. L., Louie S. G. and Zettl A., "Boron-Nitride Nanotubes", *Science* **269**, 966-967, 1995.
- [4] Han W. Q., Fan S. S., Li Q. Q., Hu Y. D., "Synthesis of Gallium Nitride Nanorods Through a Carbon Nanotube-Confining Reaction", *Science* **277**, 1287-1289, 1997.
- [5] Khaddeo K.R. , Srivastava A., and Kurchania R., "Electronic Properties of GaN Nanotube: Ab Initio Study" , *Journal of Computational and Theoretical Nanoscience* **10**, 2066-2070, 2013.
- [6] Shakerzadeh E., Barazesh N., Talebi S.Z., "A comparative theoretical study on the structural, electronic and nonlinear optical features of B₁₂N₁₂ and Al₁₂N₁₂ nanoclusters with the groups III, IV and V dopants" , *Superlattices and Microstructures* **76**, 264-276, 2014.
- [7] Seifert G., Fowler R., Mitchell D., Porezag D., Frauenheim T., "Boron-nitrogen analogues of the fullerenes: electronic and structural properties" , *Chemical Physics Letters* **268**, 352-358, 1997.
- [8] Strout D., "Structure and Stability of Boron Nitrides: Isomers of B₁₂N₁₂" , *Journal of Physical Chemistry A* **104**, 3364-3366, 2000.
- [9] Strout D., "Structure and Stability of Boron Nitrides: The Crossover between Rings and Cages" , *Journal of Physical Chemistry A* **105**, 261-263, 2001.
- [10] Cui X.Y., Yang B.S., Wu H.S., "Ab initio investigation of hydrogenation of (BN)₁₆: A comparison with that of (BN)₁₂" , *Journal of Molecular Structure: THEOCHEM* **941**, 144-149, 2010.

- [11] Baei M. T., "B12N12 sodalite like cage as potential sensor for hydrogen cyanide", *Computational and Theoretical Chemistry* **1024**, 28–33, 2013.
- [12] Oku T., Nishiwaki A., Narita I., "Formation and atomic structures of BnNn ($n=24\text{--}60$) clusters studied by mass spectrometry, high-resolution electron microscopy and molecular orbital calculations", *Physica B* **351**, 184-190, 2004.
- [13] Rezaei-Sameti M., "Effects of influence of carbon ring-doping on NMR parameters of boron phosphide nanotubes: A DFT study", *Arabian Journal of Chemistry*, **8**, 168-173, 2015.
- [14] Peyghan A., Bigdli-Tabar M., and Yourdkhani S., "A Theoretical Study of OH and OCH₃ Free Radical Adsorption on a Nanosized Tube of BC₂N", *Journal of Cluster Science*, **24**, 1011-1020, 2013.
- [15] Peralta-Inga Z., Lane P., Murray J.S., Boyd S., Grice M.E., O'Connor C.J., and Politzer P., "Characterization of Surface Electrostatic Potentials of some (5,5) and (n,1) Carbon and Boron/Nitrogen Model Nanotubes", *Nano Letter*, **3**, 21-28, 2003.
- [16] Bulat F. A., Burgess J. S., Matis B. R., Baldwin J. W., Macaveiu L., Murray J. S., and Politzer P., "Hydrogenation and Fluorination of Graphene Models: Analysis via the Average Local Ionization Energy", *Journal of Physical Chemistry*, **116** (33), 8644-8652, 2012.
- [17] Ahmadi A., Beheshtian J., Hadipour N. L., "Interaction of NH₃ with aluminum nitride nanotube: Electrostatic vs. covalent", *Physica E*, **43**, 1717-1719, 2011.
- [18] Beheshtian J., Kamfiroozi M., Bagheri Z., Peyghan A. A., "B12N12 Nano-cage as Potential Sensor for NO₂ Detection", *Chinese Journal of Chemical Physics*, **25**, 60-69, 2012.
- [19] Baei M. T., Bagheri Z., Peyghan A. A., "A DFT study on CO₂ interaction with a BN nano-cage", *Bulletin of the Korean Chemical Society*, **33**, 3338-3342, 2012.
- [20] Beheshtian J., Peyghan A. A., Bagheri Z., Kamfiroozi M., "Interaction of small molecules (NO, H₂, N₂, and CH₄) with BN nanocluster surface", *Structural Chemistry*, **23**, 1567-1572, 2012.
- [21] Shokuhi Rad A. and Ayub K., "O₃ and SO₂ sensing concept on extended surface of B12N12 nanocages modified by Nickel decoration: a comprehensive DFT study", *Solid State Science*, **69**, 22-30, 2017.
- [22] Beheshtian J., Tabar M. B., Bagheri Z., "Exohedral and endohedral adsorption of alkaline earth cations in BN nanocluster", *Journal of Molecular Modeling*, **19**, 1445-1450, 2013.
- [23] Beheshtian J., Kamfiroozi M., Bagheri Z., Peyghan A. A., "B12N12 Nano-cage as Potential Sensor for NO₂ Detection", *Chinese Journal of Chemical Physics*, **25**, 60-68, 2012.
- [24] Beheshtian J., Ahmadi Peyghan A., Bagheri Z., "Selective function of Al12N12 nano-cage towards NO and CO molecules", *Computational Materials Science*, **62**, 71-74, 2012.
- [25] Frisch M. J. *et al.*, "GAUSSIAN 09", *Gaussian Inc.* (Pittsburgh, PA)2009.
- [26] Rezaei-Sameti M., Hadian Kh., "The first-principle study of N₂O gas interaction on the surface of pristine and Si-, Ga-, SiGa-doped of armchair boron phosphide nanotube using DFT method", *Iranian Journal of Physics Research*, **16**, 3-12, 2016.
- [27] Rezaei-Sameti M., Zanganeh F., "A computational study of adsorption H₂S gas on the surface of the pristine, Al&P-doped armchair and zigzag BNNTs", *Journal of Sulfur Chemistry*, **38**, 384-400, 2017.
- [28] Rezaei-Sameti M., Zarei P., "NBO, AIM, HOMO-LUMO and thermodynamic investigation of the nitrate ion adsorption on the surface of pristine, Al and Ga doped BNNTs: A DFT study", *Adsorption*, **24** (8), 757-767, 2018.
- [29] Rezaei-Sameti M., Amirian B., "A Quantum, NBO, RDG study of interaction cadmium ion with the pristine, C, P and C&P doped (4, 4) armchair boron nitride nanotube (BNNTs)", *Asian Journal of Nano science Mater*, **1** (4), 262-270, 2018.

- [30] Baei M. T. , Ramezani Taghartapeh M., Tazikeh Lemeski E., Soltani A., "A computational study of adenine, uracil, and cytosine adsorption upon AlN and BN nanocages", *Physica B*, **444**, 6-13, 2014.
- [31] Beheshtian J., Kamfiroozi M., Bagheri Z., Ahmadi A., "Computational study of CO and NO adsorption on magnesium oxide nanotubes", *Physica E: Low-dimensional Systems and Nanostructures*, **44**, 546-549, 2011.
- [32] Politzer P., Lane P., Murray J. S., Concha M. C., "Comparative analysis of surface electrostatic potentials of carbon, boron/nitrogen and carbon/boron/nitrogen model nanotubes", *Journal of Molecular Modeling*, **11**, 1-7, 2005.
- [33] Parr R. G., Szentpaly L. V., and Liu S., "Electrophilicity Index", *Journal of American Chemical society*, **121**, 1922-1924, 1999.
- [34] Murray J. S. and Sen K., *Molecular electrostatic potentials: concepts and applications*, (Publisher: Elsevier Science) 1996.
- [35] Bader R. W.F., *Atoms in molecules: a quantum theory*, (Oxford University Press, Oxford) 1994.
- [36] Bader R. F. W., "Principle of stationary action and the definition of a proper open system", *Physical Review B*, **49**, 13348-13356, 1994.